

УДН 538.945
 © 1990

ВЫСОКОТЕМПЕРАТУРНАЯ СВЕРХПРОВОДИМОСТЬ В ОКСИДНЫХ СИСТЕМАХ ПЕРЕХОДНЫХ МЕТАЛЛОВ С ВЫРОЖДЕННЫМИ $3d$ -ЭЛЕКТРОНАМИ

Р. О. Зайцев, В. А. Иванов, Ю. В. Михайлова

На основе кинематического механизма изучена возможность высокотемпературной сверхпроводимости в сильнокоррелированных системах $2p$ - и $3d$ -электронов с орбитальными вырождениями. Рассчитаны фазовые диаграммы моделей ВТСП оксидов с e_g^2 -электронами.

Кинематический механизм сверхпроводимости [1-5] оказалось возможным применить к описанию ряда свойств ВТСП-купратов в сильнокоррелированной модели Эмери—Хирша (см. также [6]). В этой модели электронная структура слоистых купратов формируется в плоскостях CuO_2 из кислородных $2p_{x,y}$ и медных невырожденных электронов орбитали $3d(x^2-y^2)$, отщепленной тетрагональной компонентой кристаллического поля. Сверхпроводящая фаза, возникающая по механизму [1-5], подчиняется уравнениям Гинзбурга—Ландау [7, 8]. Рассчитанные фазовые диаграммы в модели Эмери—Хирша ВТСП-купратов имеют некоторую предсказательную силу (ср. [9, 10] и [11]).

Представляет интерес исследование сверхпроводимости в моделях оксидов переходных металлов со структурой без сильных тетрагональных искажений. Малая по сравнению с La_2CuO_4 тетрагональная компонента кристаллического поля обуславливает сближение $a=3d(x^2-y^2)$ и $b=3d(3z^2-r^2)$ орбиталей катиона M^{2+} переходного металла и орбитальному e_g^2 вырождению $3d$ -зон в электронной структуре в противоположность существованию орбитально невырожденных $3d$ -электронов в известных ВТСП-купратах. Примером таких соединений могут быть как соединения на основе слоистых типа La_2MO_4 со сближенными слоями MO_2 , так и соединения на основе кубических перовскитов типа LaMO_3 .

Отметим, что сверхпроводящая фаза в модели Хаббарда с вырожденными электронами изучалась ранее [12], и оказалось, что она имеет T_c выше, чем в классической орбитально невырожденной модели Хаббарда. Здесь мы покажем, что явный учет $2p$ -электронов в сильнокоррелированной системе с e_g^2 -электронами позволяет значительно расширить фазовую диаграмму. В разделе 1 предложен гамильтониан задачи. В разделах 2—4 на основе кинематического механизма ВТСП изучена сверхпроводимость в 2- и 3-мерной системах $2p_{x,y}-e_g$ -электронов.

1. Гамильтониан. Постановка задачи

Рассматриваемыми системами могут быть производные оксида La_2NiO_4 , такие как $\text{La}_{2-x}\text{M}_x\text{NiO}_4$ (M — щелочноземельный элемент и др.). В самом деле, отношения c/a в La_2CuO_4 и La_2NiO_4 составляют 3.466 [13] и 3.28 [14], слабо изменяясь с температурой. Из первых исследований [14, 15] маг-

нитных свойств La_2NiO_4 вытекает оценка магнитного момента Ni^{2+} , близкая к $2\mu_B$. Анализ магнитных и резистивных экспериментальных данных по La_2NiO_4 привел Гудинафа [16] к мысли о близости атомных уровней $a=3d(x^2-y^2)$ и $b=3d(3z^2-r^2)$ в La_2NiO_4 .

Для простоты в настоящей работе рассмотрены модельные соединения с совпадающими энергиями $E_a = E_b = E_d$. Заряд Q комплекса $\text{Ni}^{2+}\text{O}_{5+2n_p}$ в $\text{La}_{2-x}\text{Sr}_x\text{NiO}_4 = \text{La}_{2-x}^{3+}\text{Sr}_x^{2+}(\text{NiO}_2)_2\text{O}_{5+2n_p}^{2-}$ зависит от легирования x , $Q = 2n_p + n_d - 4 = -2 + x$, так что полное число дырочных состояний $n_p + n_d$ меняется от $+2$ при $x=0$ ($n_p=0, n_d=2$) до -1 при $x=1$ ($2n_p+n_d=2$). Сильнокоррелированные p, d возбуждения описываются Гамильтонианом

$$H = -t \sum_{r, r', \sigma, l, n} [p_{r, \sigma}^+(l) d_{r', \sigma}(n) + \text{h. c.}] + E_p \sum_{r, l, \sigma} p_{r, \sigma}^+(l) + p_{r, \sigma}(l) + E_d \sum_{r, \sigma, n} d_{r, \sigma}^+(n) d_{r, \sigma}(n) + I_p \sum_r n_{r+}^p n_{r-}^p + I_d \sum_r n_{r+}^d n_{r-}^d \quad (l = x, y; n = a, b), \quad (1)$$

где t — интеграл перескока электронов между ближайшими ионами; $p_{r, \sigma}^+(l), d_{r, \sigma}^+(n)$ — операторы рождения дырок в замкнутых оболочках $2p^6$ и $3d^{10}$, энергии которых E_p и E_d отсчитываются от уровня Ферми μ ; I_p, I_d — энергии Хаббарда p -, d -электронов.

Предположение о e_g^2 -вырождении подсистемы d -электронов в модели (1) $\text{La}_{2-x}\text{M}_x\text{NiO}_4$ соответствует, по Хунду, высокоспиновому состоянию катиона Ni^{2+} ($3t_{2g}^6 e_g^2$) в этом соединении и диэлектризации энергетического спектра в «правеществе» La_2NiO_4 даже при температурах, превышающих температуру Нееля в диэлектрической фазе. Т. е. рассматриваемые Гамильтонианом (1) правещества являются диэлектриками Мотта—Хаббарда с наполовину заполненной орбитально вырожденной e_g -зоной [17].

В простейшем однопетельном приближении [18] спектр одночастичных возбуждений получен из условия обращения в нуль определителя матрицы обратной функции Грина

$$G_{j, k}^{-1}(\omega, p) = (i\omega + \mu) \delta_{jk} - f_{j, k} b_j^{aa'} b_k^{a'a} \quad (2)$$

Здесь b_j — генеалогические коэффициенты [17]; j и k нумеруют переходы между основным j и полярным k состояниями; $f_{(j, k)} = n_j + n_k$, где $n_{j, k}$ — средние числа заполнения j, k состояний.

Согласно Горькову [19], появление сверхпроводимости определяется условием возникновения особенности вершинной части $\Gamma_{\alpha\beta}$ пар α (\uparrow) и β (\downarrow) Ферми-возбуждений с нулевыми суммарными энергией, импульсом и спином

$$\Gamma_{\alpha\beta} = \sum_{\omega, p} g_{\alpha\beta\lambda}(\mathbf{p}) G_{\omega}^{\lambda\lambda'}(\mathbf{p}) G_{-\omega}^{\gamma\gamma'}(-\mathbf{p}) \Gamma_{\lambda'\gamma'} \quad (3)$$

2. Сверхпроводимость в модели слоистых оксидов с e_g^2 -электронами

В изучаемой ситуации низший основной терм Ni^{3+} — двухчастичный триплетный [17]

$$a_{\sigma}^+ b_{\sigma}^+ |0\rangle = |\sigma\sigma\rangle = |S=1, S_z=2\sigma\rangle, \quad \frac{a_{\sigma}^+ b_{\sigma}^+ + a_{\sigma}^+ b_{\sigma}^+}{\sqrt{2}} = |T\rangle = |S=1, S_z=0\rangle, \quad (4)$$

а полярный терм — одночастичный Ni^{3+} . Поэтому d -операторы в сильнокоррелированной модели (1) следует выразить через X -операторы перехода между термами (4) и одночастичными состояниями $(0\sigma), (\sigma 0)$ [17]

$$a_{\sigma}^+ = \frac{\sigma}{\sqrt{2}} X^{0\uparrow|T} + \sigma X^{0\downarrow|\sigma\sigma}, \quad b_{\sigma}^+ = -\frac{\sigma}{\sqrt{2}} X^{\sigma 0|T} - \sigma X^{\sigma 0|\sigma\sigma}. \quad (5)$$

Аналогичным образом $p_{rs}^+(\cdot) = X_r^{\pm l} | 0$. Тогда обратная функция Грина (2) имеет вид ($I_p = I_d = \infty$)

$$\begin{pmatrix} (T | 0 -) & (++) | 0 + & (0 | + m) \\ (T | 0 -) & \begin{pmatrix} \Omega_d & 0 & -\tau_{1m}(p) \\ 0 & \Omega_d & -\tau_{2m}(p) \\ -\tau_{l1}(p) & -\tau_{l2}(p) & \Omega_p \delta_{lm} \end{pmatrix} & \\ (0 | + l) & & \end{pmatrix}, \quad (6)$$

где

$$\begin{aligned} \tau_{1l} &= \pm \frac{t}{\sqrt{2}} f_d (1 - e^{i p l}), \quad \tau_{2l} = t f_d (1 - e^{i p l}), \\ \tau_{l1} &= \pm \frac{t}{\sqrt{2}} f_p (1 - e^{-i p l}), \quad \tau_{l2} = t f_p (1 - e^{-i p l}), \\ \Omega_d &= i\omega - E_d, \quad \Omega_p = i\omega - E_p \quad (l = x, y). \end{aligned}$$

Спектр возбуждений получаем из (6) путем аналитического продолжения $i\omega_s = i(2n + 1)\pi T \rightarrow \omega + i\delta$

$$\xi_p^\pm = \pm \sqrt{(r/2)^2 + 6t^2 f_p f_d (1 - \varepsilon_p)} - \mu. \quad (7)$$

Здесь $r = E_p - E_d$, $\varepsilon_p = (\cos p_x + \cos p_y)/2$, $2\mu = -(E_p + E_d)$.

В случае $2 < n_d < 3.0 < n_p < 4$ факторы $f_d = (6 - n_d)/12$, $f_p = 1 - 3n_p/4$, а числа заполнения n_p, d определяются условиями самосогласования

$$\begin{aligned} n_p &= f_p \left[3n_F(E_p) + \sum_{p, k=\pm} a_p^k n_F(\xi_p^k) \right], \\ n_d &= 2 + 2f_d \left[n_F(E_d) + \sum_{p, k} a_p^{-k} n_F(\xi_p^k) \right], \\ a_p &= 1/2 \left[1 \pm r (r^2 + 24f_p f_d (1 - \varepsilon_p))^{-1/2} \right]. \end{aligned} \quad (8)$$

Первое из соотношений (8) справедливо при энергии Хаббарда $I_p = \infty$, так что $n_p < 1$. В обратном пределе для $I_p = 0$ (периодическая модель Андерсона [20]) следует положить $f_p = 1.0 < n_p < 4$, что соответствует 4-кратному вырождению невзаимодействующих p_x, y -состояний.

Согласно Ф. Дайсону ([7], [21]), борновская амплитуда рассеяния $g_{\alpha\beta l r}$ в формуле (3) такова, что рассеяние одинаковых по кристаллическому индексу ($l = x, y$ или $n = a, b$) разноспиновых частиц может быть описано пятью ненулевыми вершинами. Три $d-d$ -амплитуды рассеяния возбуждений $(T | 0^-)$ на $(T | 0^+)$, $(++) | 0^+$ на $(T | 0^-)$, $(T | 0^-)$ на $(-- | 0^-)$ пропорциональны, а две $p-p$ -амплитуды равны между собой. В результате получаем следующее условие разрешимости системы уравнений (3):

$$D_g \int_0^{t^*} \frac{d\xi}{\xi} \operatorname{th} \frac{\xi}{2T_c} = 0, \quad (9)$$

где

$$\begin{aligned} D &= \sum_p \delta(\xi_p), \\ g &= \frac{E_p E_d}{2\mu^2 f_p f_d} \left(\pm \frac{3}{4} f_p E_p - f_d E_d \right). \end{aligned} \quad (10)$$

Из последнего условия находим область существования сверхпроводящего состояния в модели (1). Верхний знак соответствует случаю $2 < n_d < 3$, а нижний — нефизической степени окисления никеля, превышающей +1 ($1 < n_d < 2$), ниже не рассматриваемой.

3. Фазовая диаграмма слоистых купратов с e_d^2 -электронами

Из системы уравнений (10) и (9) следует, что при $r > 0$ в области

$$30/13 < n_d < 18/7, 0 < n_p < 4(13 - 18n_d)/(78 - 25n_d) \quad (11)$$

сверхпроводимость осуществляется во всей ξ_p^- -зоне. При заполнении ξ_p^+ -подзоны и $r > 0$ имеем узкую область по n_p

$$12/13 < n_p < 28/29, 6(28 - 25n_d)/(44 - 37n_p) < n_d < 3, \quad (12)$$

где сверхпроводимость существует во всей ξ_p^+ -зоне. В области (11) амплитуда $d-d$ -рассеяния отрицательна и при $r > 0$ ξ_p^- -зона заполняется в основном e_g -возбуждениями так, что p -возбуждения не влияют на образование сверхпроводящего конденсата. В области (12) при $r > 0$ отрицательна амплитуда $p-p$ -рассеяния и ξ_p^+ -зона заполняется в основном p -возбуждениями, определяющими сверхпроводимость.

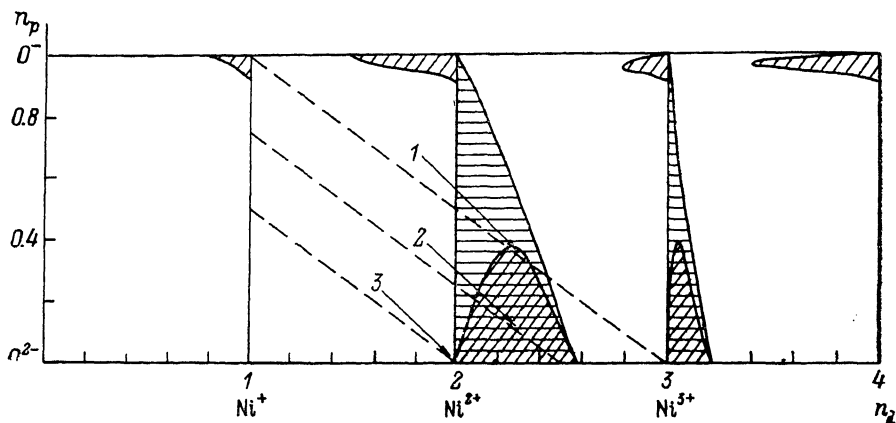


Рис. 1. Фазовая диаграмма слоистых оксидов LaSrNiO_4 (1), $\text{La}_{1.5}\text{Sr}_{0.5}\text{NiO}_4$ (2), La_2NiO_4 (3) с e_g^2 -электронами, рассчитанная по кинематическому механизму для прямоугольной плотности состояний.

Сверхпроводящие области выделены косой штриховкой для энергий Хаббарда $I_d = I_p = \infty$ и горизонтальной штриховкой — для периодической модели Андерсона $I_d = \infty, I_p = 0$.

Напротив, при $r < 0$ ξ_p^+ (ξ_p^-)-зона заполняется p (e_g)-возбуждениями, что приводит к разрушающему сверхпроводимость кинематическому отталкиванию. При этом для $2 < n_d < 30/13$ и $28/29 < n_p < 1$ область сверхпроводящей фазы сужается вследствие усиления отталкивательной роли p - и e_g -возбуждений.

Рассмотрим сверхпроводимость в периодической модели Андерсона: $I_p = 0$ и $I_d = \infty$ в (1). В ней рассеяния некоррелированных p -возбуждений нет, а условие (10) принимает вид

$$E_d > 0. \quad (13)$$

Область сверхпроводимости расширяется вследствие требования $f_p = 1$ и существует во всей нижней подзоне

$$2 < n_d < 18/7, 0 < n_p < (18 - 7n_d)/(6 - n_d). \quad (14)$$

В верхней подзоне сверхпроводимость отсутствует, так как при $n_p \sim 1$ она возникает только по причине кинематического притяжения p -возбуждений. Соответствующая фазовая диаграмма представлена на рис 1. Она рассчитана для прямоугольной плотности состояний $D_0(E) = 1/2 \delta(1 - E^2)$, характерной для рассмотренного случая двумерной решетки

Вышеприведенные неравенства выявляют зависимость кинематического спаривания от спинового состояния никеля в $\text{La}_{2-x}\text{Sr}_x\text{NiO}_4$ в противоположность бесспиновому электрон-фононному механизму. Для низкоспинового состояния оболочка $3d^8$ почти заполнена и сверхпроводимости нет. В высокоспиновой конфигурации никеля коллективизированная зона расщепляется на связывающую и антисвязывающую. Для большого числа возбуждений можно ожидать появления сверхпроводимости, соответствующей спариванию дырочных $0 < n_p < 4/7$ и электронных $2 < n_d < 16/7$ ($0 < n_d^* = -2 < 4/7$) возбуждений. Соответствующая обратная масса задана общим соотношением

$$\frac{1}{m_{\alpha\beta}} = \frac{d}{2D|\mu|} \sum_p \delta(\xi_p) \frac{\partial \xi_p}{\partial p(x)} \frac{\partial \xi_p}{\partial p_\beta} \quad (d=2, 3)$$

в нижней ξ_p -зоне.

4. Сверхпроводимость в моделях оксидов переходных металлов со структурой кубического перовскита

Рассмотрим соединения типа $(A, B)\text{CuO}_3$ со структурой кубического перовскита: катионы меди центрированы в вершинах куба, анионы кислорода расположены в серединах ребер. Заряд $Q = -5 + 3n_p + n_d$ комплекса $\text{Cu}^{1+n_d}\text{O}_3^{-2+n_p}$ меняется от -5 до $+2$ ($n_p = 1, n_d = 4$). Поскольку p_k -электроны туннелируют в $k=x, y$ направлениях, обратная виртуальная функция Грина имеет лишний по сравнению со слоистыми купратами ряд, соответствующий вырождению a и b состояний

$$\begin{pmatrix} (0a) & (0b) & (0p_l) \\ (0a) & \Omega_d & 0 & \tau_{1l}(p) \\ (0b) & 0 & \Omega_d & \tau_{2l}(p) \\ (0p_k) & \tau_{k1}(d) & \tau_{k2}(d) & \Omega_p \delta_{kl} \end{pmatrix}. \quad (15)$$

При бесконечной энергии Хаббарда в области $0 < n_d < 1$ получаем, учитывая переходы только между основным и пустым состояниями, уравнение для хипотенциала

$$n_p = \frac{2}{3} f_p \left[7n_f(E_p) + T \sum_{\alpha, p} e^{i\omega\beta} \frac{2\Omega_p \Omega_d^2}{\det_{\omega}(p)} \right], \quad (f_p = 1 - 5n_p/16), \quad (16)$$

где определитель матрицы (15) равен

$$\det_{\omega}(p) = \left[\Omega_p^2 \Omega_d^2 - 4f_p f_d \Omega_p \Omega_d t^2 \sum_k \sin^2 \frac{pk}{2} + 12t^4 \times \right. \\ \left. \times \sum_{i,k} \sin^2 \frac{pi}{2} \sin^2 \frac{pk}{2} \right]. \quad (17)$$

Из условия $\det_{\omega}(p) = 0$ находим одночастичные энергии, формирующие четыре гибридизованные зоны

$$\xi_p = \pm \left\{ \left(\frac{r}{2} \right)^4 + 2t^2 f_p f_d \left[\sum_k \sin^2 p_k \pm \left(\sum_k \sin^4 p_k - \sum_{i,k} \sin^2 p_i \sin^2 p_k \right)^{1/2} \right] \right\}^{1/2} - \mu \quad (0 < n_d < 1).$$

Как и в разделе 2, получаем число e_g -состояний

$$n_d = 4f_d T \sum_{\omega, p} \frac{\Omega_d \Omega_p^2}{\det_{\omega}(p)} e^{i\omega\beta}. \quad (18)$$

В области $1 < n_d < 2$, когда $f_d = (2 + n_d)/12$, соотношение (18) принимает вид

$$n_d = 1 + 3T \sum_{\omega, \mathbf{p}} \frac{\Omega_d \Omega_p^2}{\det_{\omega}(\mathbf{p})} e^{i\omega\delta}, \quad (19)$$

где

$$\begin{aligned} \det_{\omega}(\mathbf{p}) = & \Omega_p^2 \Omega_d^2 - 6t^2 f_d f_p \Omega_d \Omega_p \sum_k \sin^2 \frac{p_k}{2} + \\ & + 27t^4 f_p^2 f_d^2 \sum'_{ik} \sin^2 \frac{p_k}{2} \sin^2 \frac{p_i}{2}. \end{aligned} \quad (20)$$

Во всей области чисел недозаполнения $3d^{10}$ -оболочки $0 < n_d < 2$ сверхпроводимость осуществляется только при $n_p \sim 1$.

Пренебрегая кубической анизотропией в (17), (20), т. е. игнорируя

$$\sum'_{i, k} \sin^2 \frac{p_i}{2} \sin^2 \frac{p_k}{2},$$

находим, что сверхпроводимость возникает при заполнении верхней подзоны

$$\xi_p^{\pm} = \sqrt{\left(\frac{r}{2}\right)^2 + 6t^2 f_p f_d (1 - \epsilon)} - \mu \left(\epsilon = \frac{1}{3} \sum_{\lambda} \cos p_{\lambda} \right), \quad (21)$$

т. е. в области

$$\begin{aligned} 3(44 - 37n_d)/(2(64 - 53n_d)) < n_d < 1, \quad 4/5 < n_d < 1, \\ 3(38 - 5n_d)/(8(13 - n_d)) < n_p < 1, \quad 10/7 < n_d < 2. \end{aligned} \quad (22)$$

Последняя область соответствует заполнению верхней подзоны при $1 < n_d < 2$, и в (21) следует $6t^2$ заменить на $9t^2$.

В области $2 < n_d < 3$ в (А, В)CuO₃ состояния ионов меди резонируют между двух- и трехчастичными термами и $f_d = (6 - n_d)/12$, $f_p = 1 - 5n_p/6$. В пренебрежении кубической анизотропией получаем

$$\begin{aligned} n_p = & \frac{2}{3} f_p \left[7n_F(E_p) + 2 \sum_{\mathbf{p}, k=\pm} a_{\mathbf{p}}^k n_F(\xi_{\mathbf{p}}^k) \right], \\ n_d = & 2 + 2f_d \left[n_F(E_d) + \sum_{\mathbf{p}, k} a_{\mathbf{p}}^{-k} n_F(\xi_{\mathbf{p}}^k) \right], \end{aligned} \quad (23)$$

$$\xi_{\mathbf{p}}^k = \pm \sqrt{(r/2)^2 + 9f_p f_d (1 - \epsilon)} - \mu. \quad (24)$$

Здесь условие существования сверхпроводящей неустойчивости ограничивается неравенством

$${}^9/8 E_p f_p - E_d f_d > 0. \quad (25)$$

В случае $r > 0$ сверхпроводимость существует как в нижней, так и верхней подзонах (24),

$$\begin{aligned} 1 < n_p < 12(18 - 7n_d)/(234 - 79n_d), \quad 30/13 < n_d < 18/7, \\ (270 - 252n_p)/(69 - 62n_p) < n_d < 3, \quad 21/22 < n_p < 48/49. \end{aligned} \quad (26)$$

Если же $r < 0$, то область сверхпроводимости ограничивается условием (25): большими значениями n_p для нижней зоны, меньшими значениями n_d для верхней зоны

$$2 < n_d < 30/13, \quad 48/49 < n_p < 1. \quad (27)$$

В предельном случае периодической модели Андерсона ($I_p = 0$, $I_d = \infty$) из-за отсутствия p - p -взаимодействия ($f_p = 1$) сверхпроводимость осуществляется во всей $\xi_{\mathbf{p}}$ -зоне

$$0 < n_p < 4(18 - 7n_d)/(3(6 - n_d)), \quad 2 < n_d < 18/7. \quad (28)$$

В области $3 < n_d < 4$ система резонирует между пустым и одночастичными d -состояниями и $f_d = (3n_d - 8)/4$, $f_p = 1 - 5n_p/6$. В случае малой кубической анизотропии

$$\begin{aligned} n_d &= 3 + \frac{f_d}{2} \left[n_F(E_d) + \sum_{p,k} a_p^{-k} n_F(\xi_p^k) \right], \\ n_p &= \frac{2}{3} f_p \left[7n_F(E_p) + 2 \sum_{p,k} a_p^k n_F(\xi_p^k) \right], \end{aligned} \quad (29)$$

$$\begin{aligned} \xi_p^\pm &= \pm \sqrt{\left(\frac{r}{2}\right)^2 + 6t^2 f_p f_d (1 - \varepsilon) - \mu}, \\ a_p^\pm &= \frac{1}{2} \left(1 \pm \frac{r}{2} \left(\left(\frac{r}{2}\right)^2 + 6t^2 f_p f_d (1 - \varepsilon) \right)^{-1/2} \right). \end{aligned} \quad (30)$$

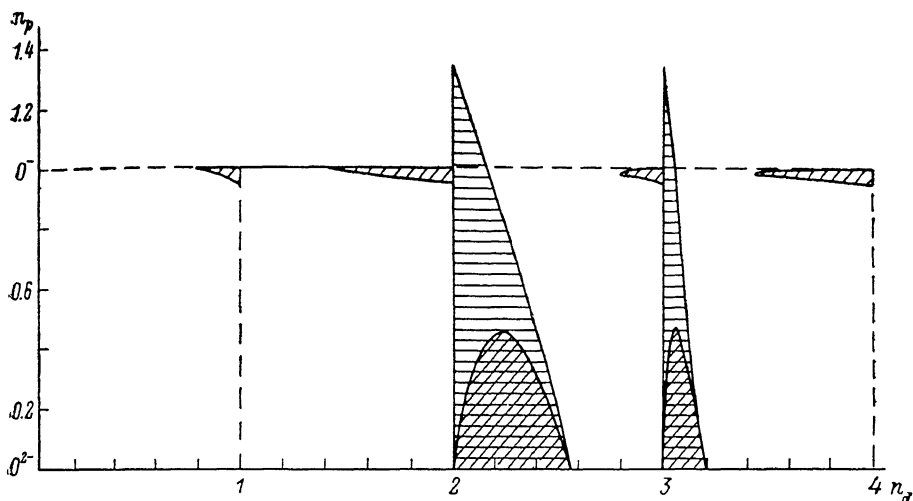


Рис. 2. Фазовая диаграмма оксидов переходных металлов с кристаллической структурой кубического перовскита, рассчитанная по кинематическому механизму ВТСП для полуэллиптической плотности состояний.

Сверхпроводящие области выделены штриховкой, как и на рис. 1.

В данной области сверхпроводимость определяется условием

$$g = \frac{E_p E_d}{2t^2 f_p f_d} \left(\frac{1}{2} E_p f_p - \frac{1}{3} E_d f_d \right) > 0. \quad (31)$$

Как и выше, при $r > 0$ кинематическое спаривание происходит и в нижней, и в верхних зонах (30),

$$0 < n_p < 12(16 - 5n_d)/(88 - 23n_d), \quad 40/13 < n_d < 16/5, \quad (32)$$

$$(136n_p - 120)/(56n_p - 51) < n_d < 4, \quad 21/22 < n_p < 48/49. \quad (33)$$

Если же $3 < n_d < 40/13$ или $48/49 < n_p < 1$, что соответствует $r < 0$, то, согласно ограничению (31), нарастающее число p - или d -возбуждений с кинематическим отталкиванием уничтожает сверхпроводимость. В таком случае не удастся получить аналитических выражений для областей и требуются машинные вычисления.

Рассуждения этого раздела подытоживает фазовая диаграмма (рис. 2). Она рассчитана для модели кубических оксидов переходных металлов с $0 < n_p < 1$ и $0 < n_d < 4$ и построена для полуэллиптической плотности состояний $D_0(E) = 2/\pi \sqrt{1 - E^2}$, характерной для рассмотренного случая трехмерной решетки.

В периодической модели Андерсона ($I_p=0$, $I_d=\infty$) при значениях $3 < n_d < 4$ получаем следующее условие на сверхпроводящую фазу:

$$0 < n_p < 4(16 - 5n_d)/(3(3n_d - 8)), \quad 3 < n_d < 16/5. \quad (34)$$

В области $n_d > 16/5$ и $n_p \sim 1$ амплитуда $d-d$ -рассеяния положительна, соответствующая отталкиванию, и сверхпроводимость отсутствует.

Таким образом, в рамках кинематического механизма ВТСП [1] удается рассчитать сверхпроводимость в моделях оксидов переходных металлов с орбитально вырожденными $3d$ -электронами, примерами которых могут быть никелаты $\text{La}_{2-x}\text{M}_x\text{NiO}_4$ и другие соединения переходных металлов со структурой слоистого перовскита (рис. 1), а также оксиды типа $\text{La}_{1-x}\text{M}_x\text{CuO}_3$, сохранившие при легировании кристаллическую структуру кубического перовскита (рис. 2). О возможной сверхпроводимости в системах $\text{La}_{2-x}\text{M}_x\text{NiO}_4$ сообщалось в работах [22, 23] ($M=\text{Sr}$) и [24] ($M=\text{Na}$).

Список литературы

- [1] Зайцев Р. О., Иванов В. А. // ФТТ. 1987. Т. 29. № 8. С. 2554—2557; Письма в ЖЭТФ. 1987. Т. 46. Приложение. С. 140—143.
- [2] Takahashi Y. // Physica B. 1988. V. 149. N 3. P. 69—73.
- [3] Zielinskej J., Matlak M., Entel R. // Phys. Lett. 1989. V. 136. N 7—8. P. 441—445.
- [4] Hirsch J. E., Marsiglio F. // Phys. Rev. B. 1989. V. 39. N 16. P. 11515—11525; Physica C. 1989. V. 162—164. P. 87—90.
- [5] Bogolubov N. N., Aksenov V. L., Plakida N. M. // Physica C. 1988. V. 153—155. P. 96—99.
- [6] Gaididei Yu. B., Loktev V. M. Preprint ITP-87-147E. Kiev, 1987. 21p. // Phys. St. Sol. (b). 1988. V. 147. N 3. P. 307—320.
- [7] Зайцев Р. О., Иванов В. А., Михайлова Ю. В. // Препринт ИАЭ-4556/9. М., 1988. 36 с.
- [8] Зайцев Р. О. // ФТТ. 1988. Т. 30. № 6. С. 1631—1638.
- [9] Зайцев Р. О., Иванов В. А., Михайлова Ю. В. Сверхпроводимость: Физика. Химия. Техника. В. 3 / Под ред. В. И. Ожогина. М., 1988. С. 103—108.
- [10] Zaitsev R. O. // Intern. J. Modern Phys. B. 1988. V. 2. N 5. P. 689—698.
- [11] Зайцев Р. О., Иванов В. А., Михайлова Ю. В. // Препринт ИАЭ-4800/9. М., 1989. 36 с.
- [12] Zaitsev R. O., Ivanov V. A. // Physica C. 1988. V. 153—155. P. 1295—1296.
- [13] Kenjo T., Yajima S. // Bull. Chem. Soc. Jpn. 1977. V. 50. N 11. P. 2847—2856.
- [14] Смоленский Г. А., Юдин В. М., Шер Е. С. // ФТТ. 1962. Т. 4. № 11. С. 3350—3356.
- [15] Ganguly P., Sheelavathi Kollali, Rao C. N. R. // Magnetism Letters. 1980. V. 1. P. 107—115.
- [16] Goodenough J. B., Ramaseska S. // Mater. Res. Bull. 1982. V. 17. N 3. P. 383—390.
- [17] Зайцев Р. О., Иванов В. А. // ФТТ. 1985. Т. 27. № 12. С. 3561—3570.
- [18] Hubbard J. // Proc. Roy. Soc. A. 1964. V. 281. N 1386. P. 401—413.
- [19] Горьков Л. П. // ЖЭТФ. 1958. Т. 35. № 2. С. 735—745.
- [20] Newns D. M., Rasolt M., Pattnaik P. C. // Phys. Rev. B. 1988. V. 38. N 10. P. 6513—6520.
- [21] Dyson F. // Phys. Rev. 1956. V. 102. N 1. P. 1217—1253.
- [22] Spalek J., Kakol Z., Honig J. M. // J. Sol. St. Chem. 1989. V. 79. N 2. P. 288—293.
- [23] Rao C. N. R., Ganguli A. K., Nagarajan R. // Physica C. 1989. V. 162—164. P. 284—285.
- [24] Михайлов И. Г., Морозовский А. Е., Пан В. М. и др. // Тр. II Всес. конф. по ВТСП. Киев, 1989. Т. I. С. 270—271.

Институт атомной энергии им. И. В. Курчатова
Москва
Институт общей и неорганической химии
им. Н. С. Курнакова АН СССР
Москва

Поступило в Редакцию
16 октября 1989 г.